

بررسی تجربی تأثیر زبری سطح بر تشکیل برفک روی استوانه*

بهروز بهروزی^(۱) حسن بصیرت تبریزی^(۲) ابراهیم دامنگیر^(۳)

چکیده تشکیل برفک اثرات مهمی در بسیاری از زمینه‌ها از جمله صنعت تبریز، تهویه مطبوع، حمل و نقل هواپیما و غیره دارد. هنگامی‌که هوای مرطوب نزدیک سطح سرد به زیر دمای انجماد آب بر ساد برفک تشکیل می‌شود. تشکیل برفک پذیره پیچیده‌ای است که انواع مکانیزم‌های انتقال حرارت و جرم به طور همزمان در حال وقوع است. در این کار به صورت تجربی، تأثیر زبری بر تشکیل برفک در استوانه افقی تحت جریان جابه‌جایی اجباری مورد بررسی قرار گرفته است. برای ایجاد جریان اجباری از تونل باد استفاده شده است. نتایج نشان می‌دهد، ضخامت برفک در پشت استوانه بیشینه و در جلوی استوانه کمینه می‌باشد. با ایجاد زبری بیشتر روی سطح میزان ضخامت برفک بیشتر می‌شود و هرچه سطح زبر ایجاد شده دارای ضریب انتقال حرارت بیشتری باشد میزان ضخامت برفک بیشتر خواهد بود.

واژه‌های کلیدی استوانه سرد، انتقال حرارت و جرم، برفک، جابه‌جایی اجباری، زبری دیواره.

Experimental Study of Wall Roughness Effects on the Frost Formation over a Cylinder

B. Behroozی H. Basirat Tabrizی E. Damangir

Abstract *Frost formation has important effects on many fields, such as refrigeration industry, air-conditioning, aviation, etc. The frost develops when a humid air contacts with a cooler surface at its freezing point. Frost formation is a complicated transient phenomenon in which a variety of heat and mass transfer mechanisms are taking place simultaneously. In this work, effect of roughness on frost formation over horizontal cylinder in force convection conditions was investigated experimentally. For creating the force flow field, a wind tunnel was used. Results indicated that the frost thickness behind the cylinder is at the maximum and in the front of cylinder is in the minimum. Further increasing of the wall roughness, result in the frost thickness increases and increasing the thermal conductivity coefficient of rough surface, increases the frost thickness too.*

Key Words Cold cylinder; Heat and mass transfer; Frost; Force convection; Wall roughness.

*تاریخ دریافت مقاله ۹۶/۱/۶ و تاریخ پذیرش آن ۹۷/۱۲/۱۱ می‌باشد.

(۱) نویسنده مسئول: دانشجوی دکتری، مهندسی مکانیک، دانشگاه صنعتی خواجه نصیرالدین طوسی، تهران.

bbehrooz@ mail.kntu.ac.ir

(۲) استاد، مهندسی مکانیک، دانشگاه صنعتی امیرکبیر، تهران.

(۳) استادیار، مهندسی مکانیک، دانشگاه صنعتی امیرکبیر، تهران.

مقدمه

برفک ارائه دادند. جواب‌های آنها به‌شدت به رابطه ارائه‌شده برای چگالی وابسته بود و این امر دقت کار را کاهش می‌داد. امینی و همکاران [7] به بررسی تجربی جابه‌جایی طبیعی تشکیل برفک در مبدل لوله-پره با دمای ۱۰، ۱۵- و ۲۰- پرداختند. آنها برای شرایط محیطی مختلف، ضخامت و چگالی برفک را بر حسب زمان به‌دست آوردند. چن و همکاران [8] به بررسی تجربی جابه‌جایی طبیعی تشکیل برفک در فشار پایین پرداختند. نتایج آنها نشان می‌دهد که فشار محیط نقش مؤثری بر تشکیل برفک دارد. کاهش فشار محیط باعث تأخیر در تشکیل برفک می‌شود و هرچه فشار کاهش یابد، کریستال‌های اولیه تشکیل برفک شکل منظم‌تری به‌خود می‌گیرند. [2]

کیم و همکاران [9] به بررسی میکروسکوپی مراحل اولیه تشکیل برفک بر روی سطح آب‌گریز پرداختند. نتایج آنها نشان می‌دهد با افزایش زاویه تماس سطح، ارتفاع کریستال‌های اولیه برفک بیشتر می‌شود و همچنین قطر کریستال و چگالی برفک کاهش می‌یابد. همچنین آنها رابطه همبستگی برای تشکیل برفک ارائه کردند. لیو و همکاران [10] به بررسی تشکیل برفک روی سطح سرد کرایوژنیک در شرایط جابه‌جایی طبیعی پرداختند. نتایج آنها نشان می‌دهد اولین کریستال‌های برفک برای سطح کرایوژنیک در دمای سطح کمتر از ۱۶۵- درجه سانتی‌گراد رخ می‌دهد. جانگ و همکاران [11] به بررسی تجربی تأثیر هوای محیط و ذرات درون آن بر تشکیل برفک روی سطح صاف سرد پرداختند. نتایج آنها نشان می‌دهد هرچه غلظت ذرات بیشتر باشد، ضخامت برفک و ارتفاع کریستال‌های تشکیل شده بیشتر می‌شود.

در این تحقیق به بررسی تجربی تأثیر زیری سطح بر روی ضخامت برفک پرداخته شده است. همان‌گونه که در مقالات ذکر شده است، بیشتر تحقیقات بر روی جریان طبیعی انجام شده و مطالعات کمی بر روی

تشکیل برفک پدیده متدالی در مبدل‌های حرارتی در محیط سرد محسوب می‌شود. هنگامی که هوای مرطوب نزدیک سطح سرد به دمای زیر دمای انجماد آب برسد برفک تشکیل می‌گردد [1]. وجود برفک کم و بیش مشکلاتی را ایجاد می‌کند؛ از جمله در مداخل اولیه تشکیل برفک به‌دلیل افزایش سطح انتقال حرارت به عنوان کمی افزایش می‌یابد ولی با گذشت زمان نه تنها این مشخصه از بین می‌رود، بلکه برفک به عنوان یک عایق حرارتی بین سطح سرد و جریان آزاد هوا عمل می‌نماید و مشخصه‌های انتقال حرارت را به‌شدت کاهش می‌دهد [2].

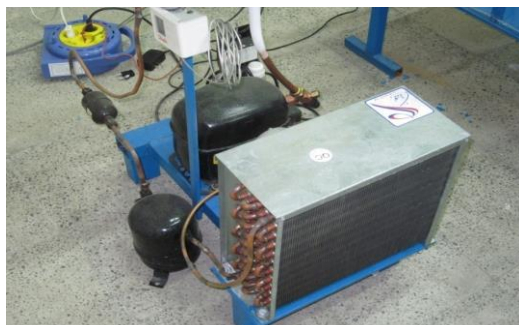
تشکیل برفک در وسیله‌های حمل و نقل نیز اثرهای قابل توجهی دارد. تشکیل برفک بر روی بال‌های هوایپما وضعیت آیرو دینامیکی آن را تغییر می‌دهد و اثر نامطلوبی بر حرکت هوایپما دارد. این معضل در صنعت حمل و نقل ریلی نیز وجود دارد که با یخ‌زدگی سوپاپ‌های ترمز سبب بروز مشکل در کنترل قطار می‌گردد و نیز در بزرگراه‌ها با یخ‌زدن سطح جاده موجب لغزنده‌گی سطح می‌شود [3].

کارهای اولیه در زمانیه مرحله جوانه‌زنی برفک توسط فلچر [4] انجام گردید و مرحله‌های تشکیل برفک را به دو مرحله جوانه‌زنی و رشد کریستالی برفک تقسیم کرد. پروسه جوانه‌زنی نیازمند آن است که جوانه‌ها بر انرژی گیپس تغییر فاز غلبه کنند و این زمانی رخ می‌دهد که جزء بخار در حالت فوق‌اشباع باشد. ساندرز [5] تحقیق‌های خود را بر روی علت عدم یکنواختی تشکیل برفک روی سطح متصرکز کرد و بیان نمود که ناهمانگی انرژی سطح، بر تشکیل اولیه برفک اثرگذار است. راجو و شریف [6] به صورت تحلیلی تشکیل برفک و انتقال حرارت را در یک کانال دایروی بررسی کردند. آنها روابطی را برای به‌دست آوردن ضرایب مختلف از جمله ضخامت برفک و چگالی



شکل ۲ نمایی از استوانه (تبخیرکننده)

همان‌گونه که در شکل (۳) نیز قابل مشاهده است، مبرد داغ خروجی از کمپرسور از سمت بالای چگالنده وارد می‌شود و پس از طی مسیر از سمت پایین چگالنده خارج می‌گردد. مبرد پس از خروج از چگالنده به حالت مایع مادون سرد می‌باشد. در اینجا برای افت فشار و دمای مبرد، آن را از یک وسیله اختناق عبور می‌دهند. این وسیله می‌تواند یک شیر انبساط و یا یک لوله موئین با طول زیاد باشد. لوله موئین معمولاً در سیستم‌های با کمینه دمای ۱۵- درجه سانتی گراد استفاده می‌شود؛ اما در سیستم‌هایی که نیاز به دمای کمتری دارند از شیر انبساط استفاده می‌شود. شیر انبساط در مسیر مبرد خروجی از چگالنده قرار می‌گیرد. دهانه اریفیس شیر انبساط، به دو ترتیب قابل کنترل است. یکی با استفاده از یک پیچ دستی که در بیرون شیر قرار دارد و برای تنظیم توان عبور دهی مبرد (و درنتیجه توان سیستم) استفاده می‌شود و دیگری به وسیله اکولاپزر.



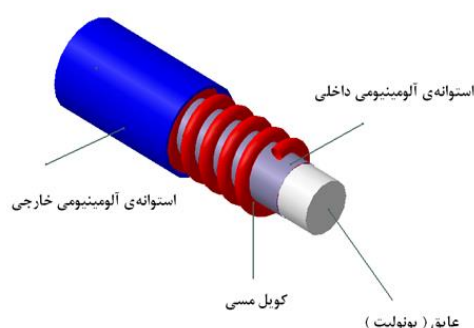
شکل ۳ شماتیک کمپرسور و کنdensor

تشکیل برفک در جریان اجباری در تونل باد انجام گرفته است. در این مطالعه جریان اجباری ایجاد شده در تونل باد و با درنظر گرفتن زبری سطح که در مقالات پیشینیان به آن نپرداخته‌اند، مورد بررسی قرار می‌گیرد.

بیان مسئله

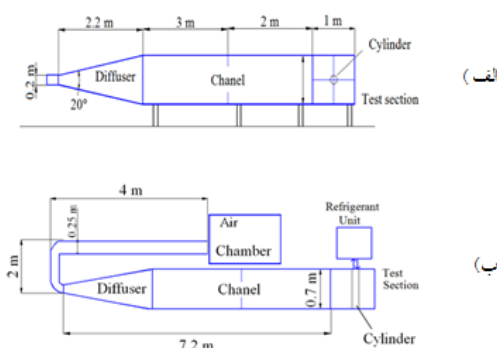
در این تحقیق دمای سطح استوانه ۱۴.۶- درجه سانتی گراد، دمای هوا محیط ۲۵ درجه سانتی گراد، رطوبت نسبی ۴۵ درصد و سرعت جریان ورودی ۰.۳ متر بر ثانیه درنظر گرفته شده است و خصامت برفک در بالا، جلو و پشت استوانه برای سطح صاف، سطح فولادی و سطح برنجی با زبری متفاوت بررسی شده است.

شرح دستگاه آزمایش. هسته اصلی این آزمایش را یک تبخیرکننده به شکل استوانه تشکیل می‌دهد (شکل‌های ۱ و ۲). تبخیرکننده ۳۵ متر لوله مسی نمره ۸ می‌باشد و به دمای کمینه ۴۰- درجه سانتی گراد می‌رسد. تمام اندازه‌های دیگر دستگاه تابع شکل و اندازه تبخیرکننده است. مبرد مناسب استفاده شده برای شرایط این آزمایش، گاز R502 می‌باشد که با توجه به خاص بودن گاز تنها یک نوع کمپرسور ($\frac{3}{4}$ hp دانفوس (Danfus) ساخت آلمان غربی) سازگار با این گاز استفاده شده است (شکل ۳).



شکل ۱ شماتیک سه بعدی استوانه تبخیرکننده

می باشد. این کanal از اسکلتی از نبشی آهنی و بادن‌های از ورق گالوانیزه ساخته شده است (شکل ۴-الف). همچنین یک دیفیوزر با زاویه ۱۰ درجه و طول ۲.۲ متر به کanal اولیه اضافه شده است (شکل ۴-الف). برای جلوگیری از ورود مستقیم جریان از فن به درون کanal، باستفاده از یک کanal به‌شکل U به‌طول ۲ متر و سطح مقطع ۲۰ در ۲۵ و اتصال یک سر آن به دیفیوزر و سر دیگر آن به یک کanal ۴ متری با سطح مقطع ۲۰ در ۲۵ (این کanal به صورت موازی با کanal بزرگتر نصب شده است نه به صورت سری) و اتصال مجموعه فن به آنها، تا حد فوق العاده زیادی از ورود نوسان‌های فن به درون کanal جلوگیری شد و جریان درون کanal به یکنواختی لازم رسید (شکل ۴-ب).



شکل ۴ (الف) نمای رو به روی دستگاه تونل باد،
ب) نمای بالای دستگاه تونل باد

محفظه کترل جریان. برای تولید جریان با شرایط ورودی‌های دلخواه از یک محفظه مکعبی استفاده شده است که درون آن یک فن با توان ۱.۵ اسب بخار و تک‌فاز قرار دارد. برای ایجاد رطوبت مورد نیاز در جریان اجباری هوای مرطوب از یک لوله پلاستیکی که دارای منفذ‌های بسیار ریز می‌باشد استفاده شده است.

وسایل اندازه‌گیری. در انجام آزمایش‌های مربوط به رشد برفک، پارامترهای گوناگونی وجود دارد که برخی از آنها مثل سرعت هوا باید پیش از شروع آزمایش

اکولايزر یک ترمومتر است که سر حسگر آن را در جای مناسب قرار می‌دهند. (در اینجا به ابتدای لوله خروجی تبخیرکننده وصل شده است). در موقع کار کردن سیستم، این قسمت با حس کردن سرمای محل قرار گیری خود، می‌تواند پیام بسته شدن یا باز شدن کامل را به اریفیس بدهد. با این کار دبی جریان مبرد به درون تبخیرکننده و درنتیجه سرمای آن قابل کنترل است. مسیر خروجی شیر انساط به درون تبخیرکننده قرار دارد.

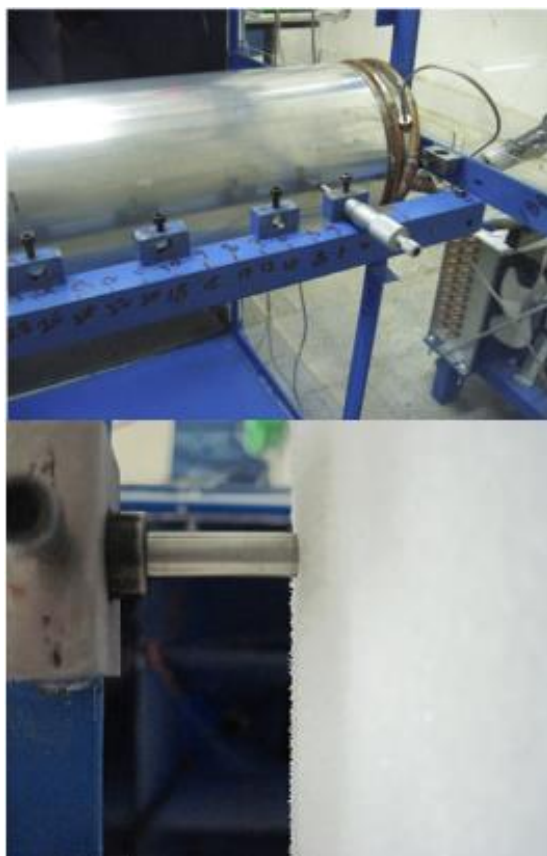
تونل باد. برای ایجاد جریان اجباری از تونل باد استفاده شده است. تونل باد از چهار قسمت اصلی تشکیل می‌شود:

- بخش تست و محل قرارگیری استوانه مورد آزمایش، کanal‌ها و نازل، محفظه کترل جریان و وسیله‌های اندازه‌گیری.
- بخش تست و محل قرارگیری استوانه مورد آزمایش

طول استوانه مورد بررسی ۷۰ سانتی‌متر و قطر آن ۱۵.۶ سانتی‌متر می‌باشد. بخش تست که استوانه مورد بررسی در آن قرار دارد، دارای عمق، ارتفاع و طول به ترتیب ۷۰، ۹۰ و ۸۰ سانتی‌متر است (شکل ۲). این قسمت از یک اسکلت از جنس نبشی آهنی ساخته شده و در کف آن ورق گالوانیزه قرار گرفته است. در سه سمت دیگر آن برای سهولت در دید از ورقه‌های پلکسی گلاس استفاده شده است. همچنین برای دسترسی آسان به استوانه و نصب وسایل اندازه‌گیری، یک سمت آن دری لولدار در نظر گرفته شده است.

کanal‌ها و نازل. با توجه به این‌که این مجموعه (استوانه و بخش تست) باید به کanal موجود در آزمایشگاه انرژی متصل گردد تا سیرکولاویون هوا صورت گیرد ساخت کanal صورت گرفت. طول این کanal ۵ متر و سطح مقطع آن ۹۰ در ۷۰ سانتی‌متر

برای این که دمای سر عمقسنج با دمای برفک هماندازه باشد و سر عمقسنج سبب ذوب شدن برفک نشود، در طی انجام آزمایش، عمقسنج بر روی صلیب طوری قرار می‌گیرد که سر آن بر روی استوانه سرد قرار گیرد و دمای آن با سطح سرد به تعادل برسد. به علاوه برای این که لحظه مماس شدن سر عمقسنج با برفک‌ها به خوبی دیده شود، از یک عدد ذره‌بین با بزرگنمایی مناسب استفاده شده است تا بتوان به خوبی این لحظه را دید.



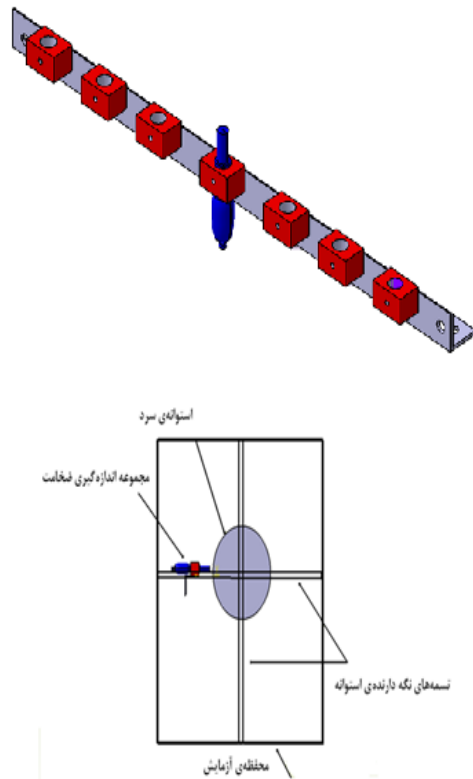
شکل ۶ نحوه اندازه‌گیری ضخامت برفک

رطوبت نسبی هوای رطوبت نسبی هوای مرطوب توسط یک رطوبتسنج دیجیتالی با دقیقت ۱ درصد اندازه‌گیری شده است.

دمای استوانه و هوای بر روی استوانه به جز درجه حرارت، گرادیان دما در راستای طول استوانه و گرادیان

تنظیم شوند و در طول آزمایش دیگر نیازی به کترول ندارند. در این آزمایش اندازه‌گیری سرعت جریان هوای توسط یک سرعت‌سنج توربینی انجام شده است.

ضخامت برفک. برای اندازه‌گیری ضخامت برفک در ابتدا و قبل از برفک زدن سطح استوانه، عمقسنج با دقیقت $\pm 0.01 \text{ mm}$ بر روی نیشی (نگهدارنده عمقسنج) در جای خود ثابت می‌شود و فاصله نیشی از سطح استوانه خوانده می‌شود (شکل ۵ وسیله اندازه‌گیری ساخته شده برای اندازه‌گیری ضخامت برفک و محل قرارگیری آن را نشان می‌دهد و شکل ۶ نحوه اندازه‌گیری ضخامت برفک را نشان می‌دهد). سپس نیشی برداشته می‌شود و بعد از روشن شدن دستگاه و پس از طی زمان مطلوب دوباره نیشی گذاشته می‌شود و فاصله نیشی از سطح برفک دوباره خوانده می‌شود. با کم کردن این دو عدد از یکدیگر ضخامت برفک به دست می‌آید.



شکل ۵ وسیله اندازه‌گیری ضخامت برفک و محل قرارگیری آن

$$\frac{\partial T_a^*}{\partial Fo} + (\text{Re.Pr}) \mathcal{U}_i \frac{\partial T_a^*}{\partial X_i} = \frac{\partial^2 T_a^*}{\partial X_i^2} \quad (4)$$

$$\frac{\partial \omega_a}{\partial Fo} + (\text{Re.Pr}) \mathcal{U}_i \frac{\partial \omega_a}{\partial X_i} = \frac{1}{Le} \frac{\partial^2 \omega_a}{\partial X_i^2} = \frac{Pr}{Sc} \frac{\partial^2 \omega_a}{\partial X_i^2} \quad (5)$$

که در معادله (۵) فرض می‌شود که عدد لویس ثابت باشد [۲].

مطابق معادلات (۱-۵) در جریان اجباری هوای مرطوب، ضخامت برفرک تابعی از متغیرهای بی بعد زیر می‌باشد [۲].

$$\delta = f(\text{Re}, \text{Fo}, \omega_{air}, T_a^*, T_p^*) \quad (6)$$

که در آن، δ ضخامت برفرک بر حسب Re , mm عدد رینولدز ($Fo = \frac{ud}{\nu}$), $\text{Re} = \frac{\alpha t}{d^2}$, ω_{air} ، T_a^* دمای بی بعد هوای نسبت رطوبت، T_p^* دمای بی بعد هوای $(T_p^* = \frac{T_a + 273.15}{T_{ip}})$ دمای بی بعد استوانه $(T_p^* = \frac{T_p + 273.15}{T_{ip}})$ می‌باشد.

درنتیجه با توجه به رابطه (۶) پارامترهای اندازه‌گیری مؤثر ضخامت برفرک، دمای سطح، دمای محیط، رطوبت هوای ظرفیت گرمایی و سرعت هوای محیط می‌باشد.

بررسی نتایج

درابتدا تأثیر سرعت بر روی ضخامت برفرک برای سطح صاف و سپس تأثیر دمای سطح بر ضخامت برفرک برای سطح زبر فولادی با تعداد مش ۵۰ بررسی می‌شود و پس از آن تأثیر سطح فولادی با زبری متفاوت بر ضخامت برفرک مورد مطالعه قرار می‌گیرد و در انتهای به بررسی تأثیر جنس سطح زبر بر روی ضخامت برفرک پرداخته می‌شود.

دما در راستای محیطی باید اندازه‌گیری شود.

برای اندازه‌گیری دمای هوای ورودی نیز از ترموموپل نوع k استفاده شده است که دقت ۰.۱ درجه سانتی‌گراد دارد. اندازه‌گیری دما در راستای محیطی، توسط چهار پرورب در یک مقطع و در چهار زاویه اصلی از نقطه سکون برروی سطح ثابت می‌شوند و بعد از نیم ساعت از شروع به کار سیستم تبرید، ترمومتر برروی حالت داده‌برداری خودکار قرار می‌گیرد تا هم تغییر دما در طی زمان و هم در راستای محیطی را ذخیره کند. تغییر در طی زمان دارای نوسان‌های بسیار کم با دامنه ۰.۲ درجه است. این عمل در چهار مقطع انجام شد که نتیجه آن بسیار مشابه با مقطع اولیه بود. برای اثبات تکرار پذیر بودن این رفتار، این عمل سه دفعه تکرار شد که همبستگی مناسبی بین داده‌ها مشاهده شد. استفاده از ژل سیلیکون به این علت است که این ژل دارای ضریب هدایت حرارتی بسیار بالا می‌باشد و خطای کمی را در اندازه‌گیری ایجاد می‌کند. همچنین از حرکت سر پرورب می‌تواند جلوگیری کند.

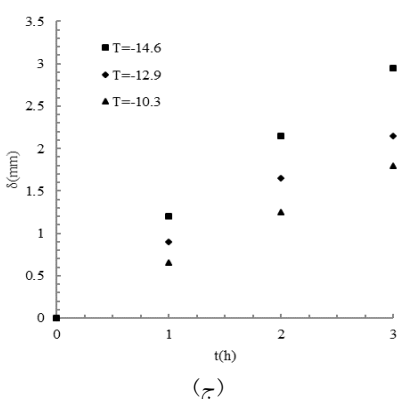
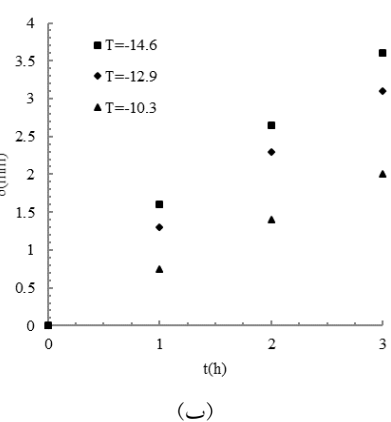
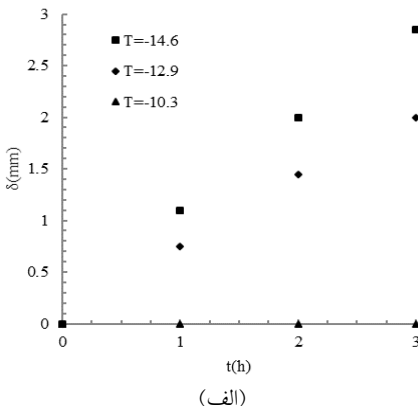
بررسی پارامترهای مؤثر برای اندازه‌گیری. معادلات انرژی و انتقال جرم استفاده شده مطابق رابطه (۱ و ۲) می‌باشد [۲].

$$\frac{\partial T}{\partial t} + \mathcal{U}_i \frac{\partial T}{\partial X_i} = \frac{k}{\rho C_p} \frac{\partial^2 T}{\partial X_i^2} \quad (1)$$

$$\rho_a \frac{\partial \omega_a}{\partial t} + \rho_a \mathcal{U}_i \frac{\partial \omega_a}{\partial X_i} = \rho_a D \frac{\partial^2 \omega_a}{\partial X_i^2} \quad (2)$$

با استفاده از رابطه (۳)، روابط (۱ و ۲) به صورت بدون بعد مطابق رابطه (۴ و ۵) می‌باشد.

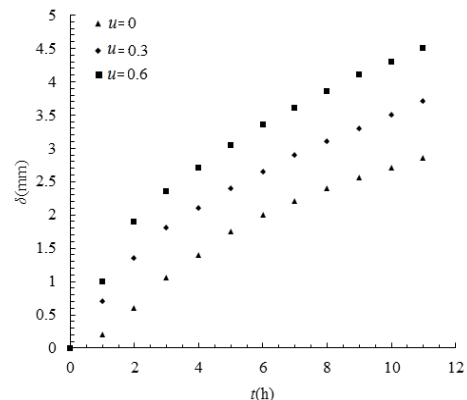
$$y_f^* = \frac{y_f}{d}, T_p^* = \frac{T_{pipe}}{T_{ip}}, T_a^* = \frac{T_{air}}{T_{ip}}, T_{fs}^* = \frac{T_{air} - T_{fs}}{T_{air} - T_{pipe}} \quad (3)$$



شکل ۸ میزان ضخامت برفک برای دمای سطح مختلف و برای سطح فولادی دارای زبری با تعداد مش ۵۰ در (الف) جلوی استوانه، (ب) پشت استوانه و (ج) بالای استوانه

مطابق شکل (۹) هرچه تعداد شبکه سطح افزایش یابد یا به عبارتی زبری سطح کاهش یابد، ضخامت برفک کاهش می‌یابد که این نتیجه برای جلو، بالا و پشت استوانه مشابه می‌باشد و همچنین سطح صاف دارای کمترین ضخامت است.

مطابق شکل (۷) با افزایش سرعت، عدد رینولدز و ضریب‌های انتقال حرارت و جرم نیز افزایش می‌یابد و با زیاد شدن انتقال جرم، مقدار رشد برفک نیز زیاد و ضخامت برفک زیاد می‌گردد.

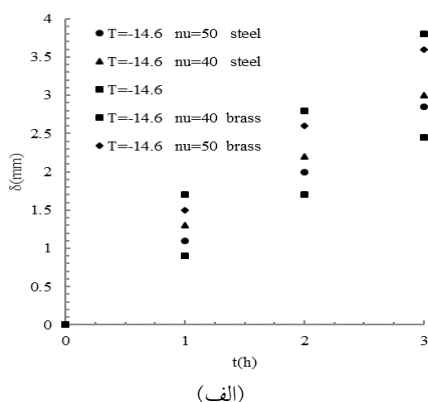


شکل ۷ ضخامت برفک در جلوی استوانه برای دمای سطح ۱۴.۶- درجه سانتیگراد، رطوبت نسبی ۳۶ درصد، دمای هوای ۱۷ درجه سانتیگراد و سرعت هوای متفاوت

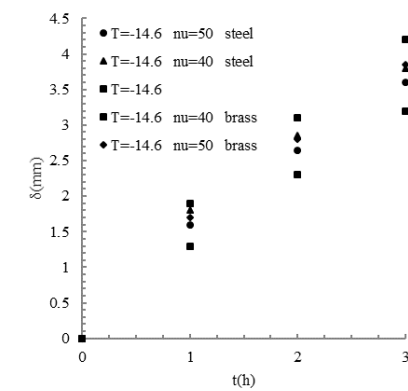
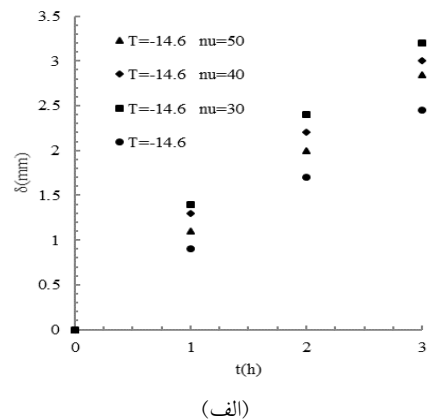
شکل (۸-الف-ج) میزان ضخامت برفک را به ترتیب در جلو، پشت و بالای استوانه برای سطح فولادی دارای زبری با تعداد مش ۵۰ و دمای سطح ۱۰.۳- ۱۲.۹- ۱۴.۶ درجه سانتیگراد نشان می‌دهد. مطابق شکل (۸) در دمای ۱۰.۳- برفک در جلوی استوانه به دلیل برخورد مستقیم هوای سطح ضخامت تشکیل نمی‌شود و با کاهش دمای سطح ضخامت برفک افزایش می‌یابد. در پشت و بالای استوانه در سه دمای مورد بررسی برفک تشکیل می‌شود و با کاهش دما ضخامت برفک افزایش می‌یابد. ضخامت برفک در پشت استوانه بیشینه و در جلوی استوانه کمینه است.

شکل (۹-الف-ج) میزان ضخامت برفک را به ترتیب در جلو، پشت و بالای استوانه برای سطح فولادی دارای زبری با تعداد مش ۵۰، ۴۰، ۳۰ و سطح صاف نشان می‌دهد.

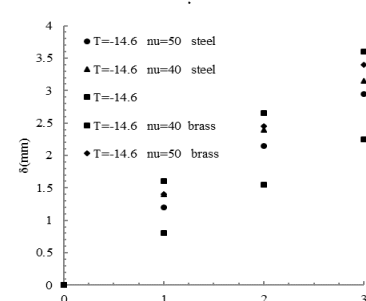
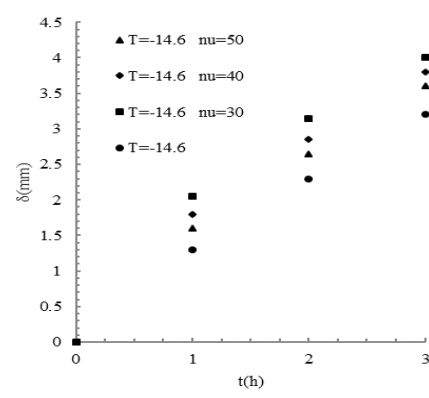
دارای زبری با تعداد مش ۵۰، ۴۰ و سطح صاف نشان می‌دهند. مطابق شکل (۱۰) سطح صاف دارای کمترین ضخامت برفک و سطح برنجی با زبری بیشتر دارای بیشترین ضخامت برفک می‌باشد. همچنین با زبری برابر سطح برنجی نسبت به سطح فولادی دارای ضخامت برفک بیشتری است.



(الف)



(ب)



(ج)

شکل ۱۰ میزان ضخامت برفک برای سطح فولادی دارای زبری متفاوت، سطح برنجی دارای زبری متفاوت و سطح صاف:
(الف) جلوی استوانه، (ب) پشت استوانه و (ج) بالای استوانه

شکل (۱۰-الف-ج) میزان ضخامت برفک را به ترتیب در جلو، پشت و بالای استوانه برای سطح فولادی دارای زبری با تعداد مش ۵۰، ۴۰، سطح برنجی

نحوه گیری	جنس سطح فولادی	steel	
در جریان اجباری هوا مرطوب تأثیر زبری سطح و همچنین جنس سطح زبر بر روی ضخامت برفک به صورت تجربی مورد بررسی قرار گرفت که نتایج زیر به دست آمد.	دماهی سطح استوانه (°C)	T	
• ضخامت برفک در پشت استوانه بیشینه و در جلوی استوانه کمینه می باشد.	ضخامت برفک (mm)	δ	
• با ایجاد زبری روی سطح میزان ضخامت برفک بیشتر می شود.	عدد فوریه	Fo	
• هر چه سطح زبر ایجاد شده دارای ضریب انقال حرارت بیشتری باشد میزان ضخامت برفک بیشتر خواهد بود.	عدد رینولدز	Re	
جنس سطح برنجی	زمان (s)	t	
قطر استوانه (cm)	دما (°C)	T	
تعداد شبکه های سطح	دماهی هوا محیط (°C)	Ta	
زمان (s)	دماهی سطح استوانه (°C)	Tp	
ضریب نفوذ گرمایی سطح	دماهی بی بعد هوا	Ta*	
ضریب نفوذ گرمایی (m ² /s)	دماهی بی بعد استوانه	Tp*	
جنس سطح برنجی	دماهی نقطه سه گانه (K)	Ttp	
قطر استوانه (cm)	ضخامت بی بعد برفک	y*	
تعداد شبکه های سطح	ضریب نفوذ گرمایی سینماتیک (Pa.s)	α	
زمان (s)	رطوبت نسبی	ν	
زمان (s)	نسبت رطوبت ($\frac{kg}{kgair}$)	ω	

فهرست علائم

مراجع

- Barzanoni, Y., Noorshams, O., Basirat Tabrizi, H. and Damangir, E., "Experimental Investigation of Frost Formation on a Horizontal Cold cylinder under Cross Flow", *International Journal of Refrigeration*, Vol. 34, pp. 1174-1180, (2011).
- Barzanoni, Y., Basirat Tabrizi, H., Noorshams, O. and Eftekhari, H., "Correlation for Frost Properties on a Cold Cylinder Surface in Cross Flow", *Heat Mass Transfer*, Vol. 48, pp. 1477-1484, (2012).
- Li, A., Niu, F., Zheng, H., Akagawa, S., Lin, Z. and Luo, J., "Experimental Measurement and Numerical Simulation of Frost Heave in Saturated Coarse-grained Soil", *Cold Regions Science and Technology*, Vol. 137, pp. 68-74, (2017).
- Fletcher, N.H., "The Chemical Physics of Ice", Cambridge University Press, Cambridge, (1970).
- Sanders, C.T., "The Influence of Frost Formation and Defrosting on the Performance of Air Cooler", PhD Thesis, Delft Technical University, Delft, (1974).
- Raju, S.P. and Sherif, S.A., "Frost Formation and Heat Transfer on Circular Cylinder in Cross Flow", *International Journal of Refrigeration*, Vol. 16, pp. 390-401, (1993).
- Amini, M., Pishevar, A.R. and Yaghoubi, M., "Experimental Study of Frost Formation on a Fin-and-tube Heat Exchanger by Natural Convection", *International Journal of Refrigeration*, Vol. 46, pp. 37-49, (2014).

8. Chen, Y., Lu, P., Shen, C. and Zhang, Q., "Experimental Study on Frost Formation on a Cold Surface in Low Atmospheric Pressure", *Applied Thermal Engineering*, Vol. 90, pp. 86-93, (2015).
9. Kim, H., Kim, D., Jang, H., Kim, D.R. and Lee, K.S., "Microscopic Observation of Frost Behaviors at the Early Stage of Frost Formation on Hydrophobic Surfaces", *International Journal of Heat and Mass Transfer*, Vol. 97, pp. 861-867, (2016).
10. Liu, Z., Dong, Y. and Li, Y., "An Experimental Study of Frost Formation on Cryogenic Surfaces under Natural Convection Conditions", *International Journal of Heat and Mass Transfer*, Vol. 97, pp. 569-577, (2016).
11. Gong, J., Sun, J. and Li, G., "An Experimental Study of the Effect of Air Quality on Frosting on Cold Flat Surface", *International Communications in Heat and Mass Transfer*, Vol. 82, pp. 139-144, (2017).